

Anexo 1: Listado de plásmidos

Nombre	Inserto	Proteína de interés	Color de la proteína fluorescente
pJAC295	Myc-mRFP-TM BclXL	-	Rojo
pJAC318	EGFP-Tau (4R/0N)	Tau	Verde
pJAC321	C-myc-mRFP-Human alpha synuclein WT	aSyn	Rojo
pJAC332	EGFP-aS-WT	aSyn	Verde
pJAC333	mCherry-p62	p62	Rojo
eGFP N1	EGFP	EGFP	Verde

Tabla 1. Resumen de los plásmidos, inserto y proteínas que codifican (de interés y fluorescente) utilizados en las transfecciones.

Anexo 2: Mapas de los plásmidos utilizados

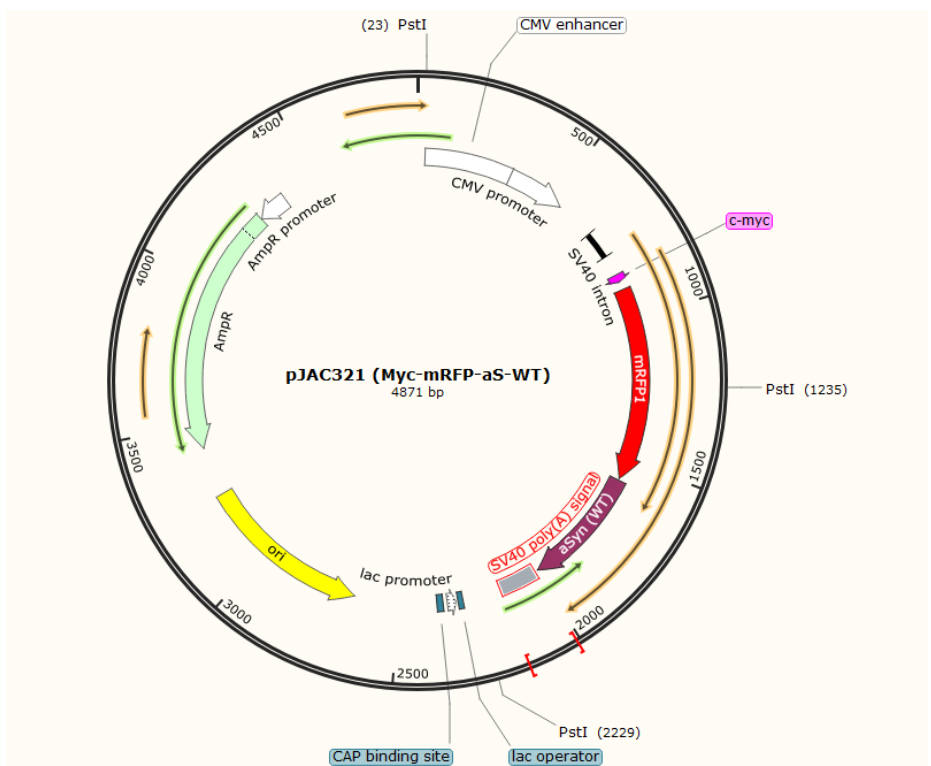


Figura 1. Mapa del plásmido pJAC321. Se muestran los sitios de corte de la enzima de restricción PstI y las proteínas.

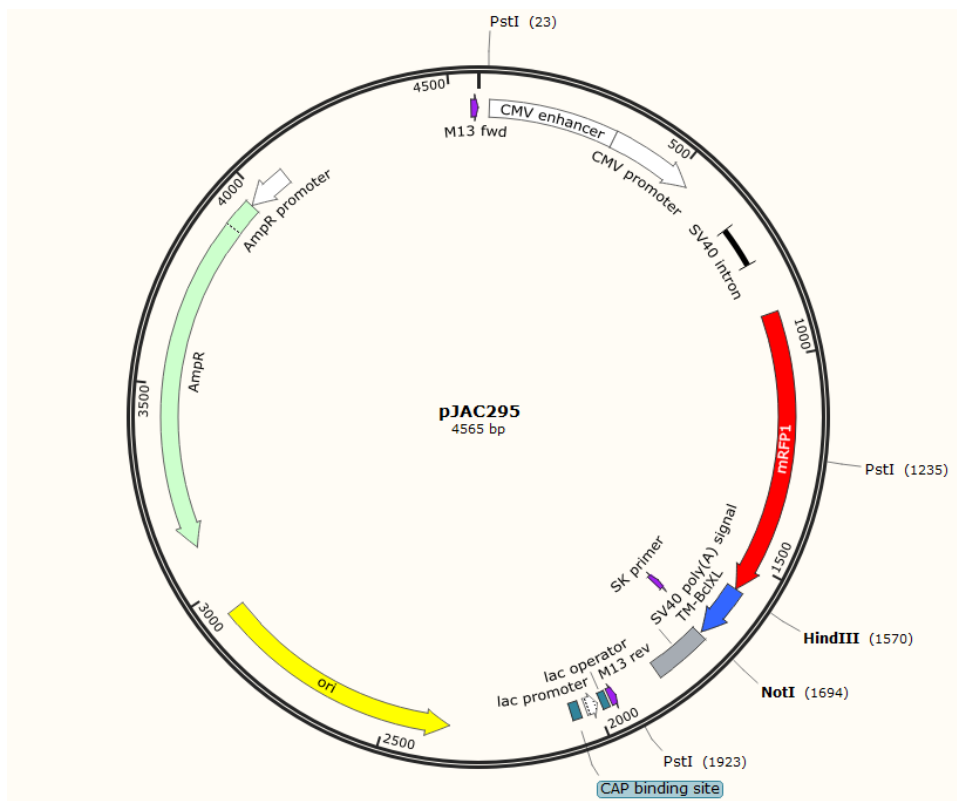


Figura 2. Mapa del plásmido pJAC295. Se muestran los sitios de corte de la enzima de restricción PstI y las proteínas codificadas.

Anexo 3: Eficiencias de transfección de distintos reactivos

HAP-1 WT

Reactivos	Proliferación %	Desviación estandar %	Eficiencia de transfección %	Desviación estandar %
GeneJuice	57%	28,5%	9%	2,1%
TransIT-2020	85%	7,5%	31%	1,0%
LF-2000	14%	24,4%	32%	54,9%
LF-3000 (1-1,5)	32%	12,0%	33%	9,7%
LF-3000 (1-3)	36%	39,4%	50%	43,7%
ViaFect	74%	41,9%	3%	1,3%

Tabla 2. Porcentaje de proliferación y eficiencia de transfección y sus respectivas desviaciones estandar de los distintos reactivos de transfección para las células HAP-1 WT.

HAP-1 ATG5⁻

Reactivos	Proliferación %	Desviación estandar %	Eficiencia de transfección %	Desviación estandar %
GeneJuice	61%	9,8%	39%	17,1%
TransIT-2020	10%	5,2%	27%	8,8%
LF-2000	1%	0,1%	23%	25,2%
LF-3000 (1-1,5)	0%	0,8%	9%	15,7%
LF-3000 (1-3)	1%	1,1%	51%	44,1%
ViaFect	41%	16,2%	28%	20,7%

Tabla 3. Porcentaje de proliferación y eficiencia de transfección y sus respectivas desviaciones estandar de los distintos reactivos de transfección para las células HAP-1 ATG5⁻.